DOI: <a href="https://doi.org/10.17816/vto633337">https://doi.org/10.17816/vto633337</a>
EDN: WZMMQJ

### Биомеханическая оценка функции стопы после дистракционного подтаранного артродеза: проспективное исследование

А.К. Орлецкий, И.С. Косов, К.В. Шкуро, И.А. Арапова, Д.О. Васильев, В.Т. Зейналов, А.К. Мурсалов, В.А. Мицкевич Национальный медицинский исследовательский центр травматологии и ортопедии

им. Н.Н. Приорова, Москва, Россия

#### *RNJATOHHA*

Обоснование. Переломы пяточной кости, внутрисуставные, импрессионные со смещением отломков после консервативного или неадекватного хирургического лечения, могут привести к серьёзной ортопедической проблеме. Артродез подтаранного сустава выполняется после переломов пяточной кости с развитием прогрессирующего остеоартроза. Дистракционный артродез подтаранного сустава показан при выраженной депрессии задней суставной фасетки для восстановления нормальных взаимоотношений заднего отдела стопы.

**Цель:** оценить эффективность и безопасность новой тактики хирургического лечения посттравматической деформации пяточной кости.

Материалы и методы. В отделении травматологии и ортопедии № 4 ФГБУ «НМИЦ ТО им. Н.Н. Приорова», г. Москва, в период 2021—2024 г. было проведено оперативное лечение 27 пациентам с тяжёлой посттравматической деформацией пяточной кости, из них 7 женщин и 20 мужчин, средний возраст которых составил 35 лет (от 22 до 56 лет). Все пациенты оперированы одним хирургом. Среднее время от момента травмы до оперативного лечения — 24,8 мес (от 9 до 72 мес).

**Результаты.** Оценка результатов лечения пациентов, принявших участие в исследовании, проводилась в интервале 12 и 24 мес. после операции. Средний период наблюдения составил 26,2 мес (от 12 до 56 мес). Средний показатель визуальной аналоговой шкалы до операции составил 5,1 (от 9 до 2), после операции — 0,8 (от 3 до 0), отмечено значительное снижение болевого синдрома (p > 0,001). Средний показатель AOFAS заднего отдела стопы до операции составил 42 (от 39 до 72), после операции — 85 (от 60 до 92), также отмечено улучшение показателей опросника (p > 0,001). Осложнения наблюдались у 13 пациентов, 2 пациентам потребовалось повторное хирургическое вмешательство. По результатам динамической педобарографии отмечено увеличение показателей пикового и среднего интеграла давления для всей стопы, среднее время контакта пятки значительно уменьшилось — с 640 $\pm$ 166 мс до операции до 515 $\pm$ 141 мс после операции (p < 0,003). Эти показатели были схожи с показателями здоровой стопы — 530 $\pm$ 177 мс соответственно.

Заключение. Дистракционный артродез выполнялся пациентам при тяжёлой посттравматической деформации пяточной кости (угол инклинации таранной кости менее 8 градусов). Дистракция необходима для восстановления высоты пяточной кости и нормальных взаимоотношений заднего отдела стопы в целом. Пациенты были удовлетворены результатом лечения, который был подтверждён не только клинически, рентгенологически, но и путём биомеханического исследования, при помощи динамической педобарографии.

**Ключевые слова:** перелом пяточной кости; посттравматическая деформация; реконструкция; подтаранный артродез; дистракция; остеотомия пяточной кости; костная пластика.

#### КАК ЦИТИРОВАТЬ:

Орлецкий А.К., Косов И.С., Шкуро К.В., Арапова И.А., Васильев Д.О., Зейналов В.Т., Мурсалов А.К., Мицкевич В.А. Биомеханическая оценка функции стопы после дистракционного подтаранного артродеза: проспективное исследование // Вестник травматологии и ортопедии им. Н.Н. Приорова. 2025. Т. 32, № 2. С. XXX—XXX. DOI: 10.17816/vto633337 EDN: WZMMQJ

EDN: WZMMQJ

Рукопись получена: 08.06.2024 Рукопись одобрена: 05.07.2024 Опубликована online: 06.06.2025

DOI: <a href="https://doi.org/10.17816/vto633337">https://doi.org/10.17816/vto633337</a>
EDN: WZMMQJ

# Biomechanical foot function after distraction subtalar arthrodesis: prospective study

Anatoliy K. Orletskiy, Igor S. Kosov, Konstantin V. Shkuro, Irina A. Arapova, Dmitriy O. Vasilyev, Vadim T. Zeynalov, Anatoliy K. Mursalov, Viktor A. Mitskevich

Priorov National Medical Research Center of Traumatology and Orthopedics, Moscow, Russia

#### **ABSTRACT**

**BACKGROUND:** Intra articular calcaneus fractures with dislocation of fragments after conservative or inadequate surgical treatment can lead to a serious orthopedic problem. Subtalar arthrodesis is performed after calcaneus fractures, with the development of progressive osteoarthritis. Subtalar distraction bone block arthrodesis is indicate with severe depression of the posterior articular facet, to restore normal relationships of the hind foot.

**AIM:** To improving of surgical treatment of post-traumatic calcaneal deformity.

MATERIALS AND METHODS: In the department № 4 in the Center Traumatology and Orthopedics (Moscow), between 2021–2024, 27 patients with severe post-traumatic deformity of the calcaneus were surgically treated, 7 of them women and 20 men, the average age was 35 (22–56) years. All implantations were performed by one surgeons. The mean follow-up period is 24.8 (9–72) months.

**RESULTS:** The average VASH score before surgery was 5.1 (9–2), after surgery 0.8 (3–0), there was a significant decrease in pain syndrome (p > 0.001). The average hind foot AOFAS scale before surgery was 42 (39–72), after surgery 85 (60–92), there was also an improvement (p > 0.001). Complications were observed in 13 patients, 2 patients required revision surgical treatment.

**CONCLUSION:** Subtalar distraction arthrodesis was performed in patients with severe post-traumatic deformation of the calcaneus (talar inclination angle less 8 degree). Distraction is necessary to restore the height of the calcaneus and normal relationships of the hind foot. The patients were satisfied with the result of the treatment, which was confirmed not only clinically, radiologically, but also by biomechanical examination.

**Keywords:** calcaneal fracture; malalignment; reconstruction; subatalar arthrodesis; distraction; calcaneal osteotomy; bone block arthrodesis.

#### TO CITE THIS ARTICLE:

Orletskiy AK, Kosov IS, Shkuro KV, Arapova IA, Vasilyev DO, Zeynalov VT, Mursalov AK, Mitskevich VA. Biomechanical foot function after distraction subtalar arthrodesis: prospective study. *N.N. Priorov Journal of Traumatology and Orthopedics*. 2025;32(2):XXX–XXX. DOI: 10.17816/vto633337 EDN: WZMMQJ

**Received:** 08.06.2024 **Accepted:** 05.07.2024 **Published online:** 06.06.2025

DOI: <a href="https://doi.org/10.17816/vto633337">https://doi.org/10.17816/vto633337</a>
EDN: WZMMQJ

#### **ОБОСНОВАНИЕ**

Переломы пяточной кости, внутрисуставные, импрессионные со смещением отломков после консервативного или неадекватного хирургического лечения, могут привести к серьёзной ортопедической проблеме. К сожалению, основную когорту данных пациентов составляют трудоспособные, активные люди в возрасте от 20 до 40 лет. Поздние осложнения сросшихся со смещением внутрисуставных переломов пяточной кости приводят к инвалидизации и представляют сложную клиническую картину [1–6].

Наиболее распространёнными проблемами тяжёлой посттравматической деформации пяточной кости являются выраженная депрессия задней суставной фасетки с развитием подтаранного остеоартроза; изменение анатомии пяточной кости (высота, ширина, длина), приводящее к укорочению ахиллова сухожилия, нарушению ходьбы, хромоте; вздутие / расширение наружной стенки пяточной кости, пяточно-малоберцовый импиджмент, компрессия и дислокация малоберцовых сухожилий; угловая деформация заднего отдела стопы — варус / вальгус; коллапс внутреннего продольного свода; вторичная деформация среднего и переднего отдела стопы, когтеобразная деформация пальцев; горизонтальное положение таранной кости с формированием переднего большеберцово-таранного импиджмента, ограничение дорсифлексии стоп; симптоматические остеофиты латеральной, медиальной, плантарной и дорсальной поверхности пяточной кости; прогрессирование остеоартроза сустава Шонара; невропатия икроножного и большеберцового нервов [7–10].

Артродез подтаранного сустава выполняется после переломов пяточной кости с развитием прогрессирующего остеоартроза. В 1988 г. В. Сагт предложил подтаранный дистракционый костно-пластический артродез при посттравматической деформации пяточной кости с депрессией задней суставной фасетки. Дистракция выполняется для восстановления утраченной высоты пяточной кости и восстановления нормальных взаимоотношений заднего отдела стопы [6, 11].

Также мы считаем, что важно выполнять декомпрессию наружной стенки пяточной кости, ревизию малоберцовых сухожилий, удлинение ахиллова сухожилия, корригирующую остеотомию бугра пяточной кости, резекцию остеофитов и т.д. [1, 2]. У хирурга должен быть чёткий план, какие компоненты деформации необходимо исправить, желательно в одну хирургическую сессию.

В нашем исследовании ретро- и проспективно проведена оценка функции 27 стоп, как клинически, так и с помощью динамической педобарографии, до и после хирургической реконструкции.

**Цель исследования** — улучшение тактики хирургического лечения посттравматической деформации пяточной кости, оценка результатов лечения клинически, рентгенологически и педобарографически (функциональное биомеханическое исследование стоп) до и после оперативного лечения.

#### МАТЕРИАЛЫ И МЕТОДЫ

#### Дизайн исследования

Проведено экспериментальное проспективное контролируемое нерандомизированное исследование.

#### Условия проведения и продолжительность исследования

Исследование выполнено в отделении травматологии и ортопедии № 4 ФГБУ «НМИЦ ТО им. Н.Н. Приорова», г. Москва, в период 2021—2024 гг.

#### Критерии соответствия

Критерии включения: пациенты с тяжёлой посттравматической деформацией пяточной кости, у которых на рентгенограммах в боковой проекции угол Белера нулевой или отрицательный, угол инклинации таранной кости — менее 8 градусов, подписавшие согласие на добровольное участие в данном исследовании.

*Критерии исключения*: пациенты, отказавшиеся принимать участие в исследовании, с имеющимся анкилозом подтаранного сустава, пациенты с тяжёлым сосудистым и неврологическим дефицитом, невропатическими заболеваниями (например, артропатией Шарко), хронические курильщики, которые не захотели на период лечения бросить или ограничить курение.

DOI: <a href="https://doi.org/10.17816/vto633337">https://doi.org/10.17816/vto633337</a>
EDN: WZMMQJ

#### Описание медицинского вмешательства

Все пациенты оперированы одним хирургом.

Проводился осмотр пациентов: стоя (лицом к доктору, спиной, боком), подъём на мыски, на пятки на одной и двух стопах, приседание на корточки. Гониометром определялся объём движений в подтаранном (эверсия / инверсия) и голеностопном суставах (дорси- / плантарфлексия).

#### Оперативное лечение

Объём оперативного вмешательства планировали с учетом классификации посттравматических деформаций пяточной кости по Zwipp / Rammelt (табл. 1).

После проведения анестезиологического пособия (спинальная анестезия) проводился задненаружный, продольный или слегка дугообразный (дистально) доступ между наружной лодыжкой и ахилловым сухожилием до подошвенной поверхности стопы (при отсутствии предыдущего послеоперационного рубца) (рис. 1).

Остро формировался полнослойный субпериостальный кожно-фасциальный лоскут. При помощи широкого остеотома поводилась резекция «вздутой» наружной стенки пяточной кости. Устанавливался пиновый или лапчатый дистрактор, проводилось удаление рубцовой ткани и остатков хряща с таранной и пяточных костей, затем остеоперфорация сверлом 2,0 мм.

При наличии у пациента угловой деформации заднего отдела стопы (вальгус более 15 градусов, варус от 0 градусов и более) проводилась корригирующая остеотомия пяточной кости.

По стандартной методике осцилляторной пилой и остеотомом выполнялся забор кортикальногубчатого аутотрансплантата требуемой величины из гребня подвздошной кости. Трансплантат был разделён на два костных блока, которые имплантировались между таранной и пяточной костями (рис. 2).

Идеальное положение заднего отдела стопы после установки трансплантатов и металлоконструкции — вальгус 5 градусов. Большеберцово-таранно-пяточная ось всегда учитывалась интраоперационно путём поднятия конечности, экстензии колена, дорсифлексии стопы. Далее проводился окончательный металлоостеосинтез двумя канюлированными винтами 5,5 или 7,0 мм.

### Динамическая педобарография: исследование функциональных параметров стопы на программно-аппаратном комплексе F-Scan Mobile

Для данного исследования совместно с ортопедическим центром «Персей» была изготовлена обувь на ортопедической колодке. Она имела 5 типов размеров — с 36-го по 44-й, по размерному шаблону стельки F-Scan Mobile подготавливались и устанавливались в обувь (рис. 3).

После калибровки прибора проводилась тестовая ходьба по прямой, минимум 20 шагов. Далее включалась запись. Исследование биомеханики ходьбы включало: (1) ходьбу по прямой, расстояние 30 м, туда и обратно; (2) ходьбу на беговой дорожке, S=1,5 км/ч, угол наклона — 0 градусов, (3) ходьбу на беговой дорожке, S=1,5 км/ч, угол наклона — 10 градусов (рис. 4).

Данное исследование позволяло определить подошвенное давление разных областей стопы во время всего цикла ходьбы: от удара пяткой до отрыва носка. Зоны (области) стопы можно разделить на 8 составляющих: (1, 2) задний и средний отдел стопы, (3, 4) головка первой и второй плюсневой кости, (5) головка третьей-пятой плюсневой кости, (6, 7) первый и второй палец стопы, (8) с третьего по пятый палец стопы. Данные были записаны с использованием программного обеспечения F-Scan Mobile.

Для каждой интересующей области и стопы в целом были рассчитаны следующие параметры: интеграл давления по времени, пиковое / максимальное давление, время контакта и площадь контакта. Также измерялся центр силы (центр линии подошвенного давления) для всей поверхности стопы.

#### Исходы исследования

Основной	конечной	точкой	исследования	был	клинический	исход.	Учитывая	совокупность
клиническ	их результа	тов лече	ния пациентов,	выде	ляли четыре в	вида исхо	дов: отличі	ный, хороший,
			петворительный					
Дополните	льными ког	нечными	точками были:					

оценка по визуальной аналоговой шкале (ВАШ);
оценка по шкале Американской ассоциации ортопедов стопы и голеностопного сустава
(American Orthopaedic Foot and Ankle Society, AOFAS) для заднего отдела стопы (hind foot);
субъективная оценка результатов лечения пациентами.

DOI: <a href="https://doi.org/10.17816/vto633337">https://doi.org/10.17816/vto633337</a>
EDN: WZMMQJ

#### МЕТОДЫ РЕГИСТРАЦИИ ИСХОДОВ

Оценка результатов лечения пациентов, принявших участие в исследовании, проводилась в интервале 12 и 24 мес после операции.

Для оценки использованы результаты инструментальных методов исследования до операции и после завершения лечения:

1100110	вавершении лечении.
	функциональные рентгенограммы (стоя) обеих стоп в прямой, боковой и проекции
	Зальцмана (определение большеберцово-таранно-пяточной соосности), при необходимости
	также выполнялась прямая проекция голеностопных суставов;
	компьютерная томография (КТ) обеих стоп; исследование функциональных параметров
	стопы АПК F-Scan Mobile;
	ультразвуковое исследование;
	электронейромиография и магнитно-резонансная томография по клиническим показаниям.
Оценка	а по BAШ и AOFAS для заднего отдела стопы (hind foot) проводилась до операции и через 6
и 12 ме	ес после неё (табл. 2).

#### Этическая экспертиза

Все пациенты подписали информированное согласие на лечение. Детализирующая информация, способствующая персонификации включённых в исследование пациентов, отсутствует. По результатам рассмотрения документов Комитет по этике при ФГБУ «НМИЦ ТО им. Н.Н. Приорова» Минздрава России принял решение об отсутствии нарушений норм биомедицинской этики при исполнении исследования и одобряет проведение данной клинической работы (протокол № 1/22 от 26 декабря 2022 года).

#### Статистический анализ

Статистический анализ выполнялся с использованием программного обеспечения Windows 10, с применением парного двухстороннего t-критерия для сравнения предоперационных и послеоперационных параметров. Нормальное распределение было подтверждено с помощью критерия хи-квадрат. Корреляция проводилась между оценкой BAШ, AOFAS, результатами рентгенологического исследования и динамической педобарографии. Значимость предполагалась при p < 0.05.

#### РЕЗУЛЬТАТЫ

#### Участники исследования

В выборку включены 27 пациентов с тяжёлой посттравматической деформацией пяточной кости, из них 7 женщин и 20 мужчин, средний возраст которых составил 35 лет (от 22 до 56 лет).

Среднее время от момента травмы до оперативного лечения — 24,8 мес (от 9 до 72 мес). Средний период наблюдения составил 26,2 мес (от 12 до 56 мес).

Механизм повреждения: у троих пациентов — дорожно-транспортное происшествие, у 24 пациентов повреждение связано с падением с высоты (кататравма). Сторона повреждения: правая — 10 стоп, левая — 17 стоп. Девять пациентов имели сочетанные травмы, такие как закрытая черепно-мозговая травма, компрессионные переломы позвонков, таранной кости, дистального метаэпифиза лучевой кости и костей предплечья, большеберцовой кости, бедра и костей таза. 15 пациентов лечились консервативно гипсовой иммобилизацией от 8–14 недель, 12 пациентов с открытыми и закрытыми переломами пяточной кости были оперированы в ранние сроки после травмы. Объём хирургического вмешательства был следующим: 4 пациента — открытая репозиция, металлоостеосинтез пластиной; 4 пациента — скелетное вытяжение, далее — фиксация с пицами; 2 пациента — фиксация в аппарате наружной фиксации; 1 пациент — закрытая репозиция с фиксацией винтами; 1 пациент — закрытая репозиция с фиксацией спицами. У 4 пациентов диагностирован ложный сустав пяточной кости, отмечены три случая переднего отростка пяточной кости, один случай ложного сустава тела пяточной кости (табл. 3).

С учетом классификация посттравматических деформаций пяточной кости по Zwipp / Rammelt из 27 пациентов тип III отмечался у 24 человек, тип IV — у 3.

#### ОСНОВНЫЕ РЕЗУЛЬТАТЫ ИССЛЕДОВАНИЯ

DOI: <a href="https://doi.org/10.17816/vto633337">https://doi.org/10.17816/vto633337</a>
EDN: WZMMQJ

Средний показатель ВАШ до операции составил 5,1 (от 9 до 2), после операции — 0,8 (от 3 до 0), отмечено значительное снижение болевого синдрома (p > 0,001). Показатели ВАШ представлены в табл. 2 и на рис. 5.

Средний показатель AOFAS заднего отдела стопы до операции составил 42 (от 39 до 72), после операции — 85 (от 60 до 92), также отмечено улучшение показателей опросника (p > 0,001). Показатели AOFAS представлены в табл. 2 и на рис. 6.

Было получено незначительное улучшение показателей гониометрии голеностопного сустава: активная дорсифлексия, среднее значение до операции — 6 градусов (от 0 до 20 градусов), после операции — 10 градусов (от 5 до 25 градусов).

Отмечено, что активная плантарфлексия голеностопного сустава уменьщилась с 18 градусов (от 15 до 30 градусов) — среднее значение до операции до 12 градусов (от 10 до 20 градусов) — среднее значение после операции.

Осложнения наблюдались у 13 пациентов, 2 пациентам потребовалось повторное хирургическое вмешательство (7%). Полученные осложнения включали:

инфекции области хирургического вмешательства (ИОХВ). Поверхностная ИОХВ была
отмечена у одного пациента — отхождение послеоперационной гематомы с частичным
расхождением краёв раны. После этапных перевязок и антибиотикотерапии через 2,5 мес —
заживление вторичным натяжением, повторных хирургических вмешательств
не потребовалось. Глубокая ИОХВ отмечалась у пациента 44 лет, который был ранес
оперирован в 2020 г., — открытая репозиция, металлоостеосинтез спицами. Через 3 мес после
выполнения дистракционного артродеза пациенту проведена ревизионная операция —
удаление металлоконструкции и трансилантатов, секвестрнекрэктомия. Раны зажили
вторичным натяжением, повторной реконструктивно-пластической операции
не потребовалось;

- □ невропатия ветвей икроножного нерва у 6 пациентов, у 4 отмечалось восстановление чувствительности через 4–6 мес, у 2 пациентов гипостезия не регрессировала. Болезненных невром п. suralis отмечено не было;
- □ замедленная консолидация у одного пациента 42 лет, который признался, что продолжал курить после операции. Сращение было отмечено в сроке 11 мес после операции. Повторного хирургического вмешательства не потребовалось;
- □ остаточная варусная деформация заднего отдела стопы у 4 пациентов. На аксиальной проекции варус 0–10 градусов, одному пациенту потребовалась повторная операция корригирующая остеотомия бугра пяточной кости по Dwyer с латерализацией. Консолидация состоялась в стандартные сроки, заживление и восстановление прошли без осложнений.

#### Рентгенологические данные

Костный пяточно-таранный анкилоз был достигнут у всех 27 пациентов, что подтверждалось лучевыми методами исследования — КТ и рентгенологическим.

Средние значения до- и послеоперационных рентгенологических измерений приведены в табл. 4. Несмотря на то, что показатели ВТПК, ТПУ, УНТК, УИТК значительно улучшились после дистракционного подтаранного артродеза (p < 0.001), они не могли полностью соответствовать показателям здоровой контралатеральной стопы. УНПК можно было частично скорректировать за счёт низводящей остеотомии бугра пяточной кости.

хирургического лечения у 14 пациентов дополнительно отмечались остеоартроз голеностопного, таранно-ладьевидного, пяточно-кубовидного суставов (I-III стадии по Н.С. Косинской), из них у 3 пациентов — остеоартроз голеностопного сустава ІІ стадии, у 1 пациента — Тетадии; остеоартроз таранно-ладьевидного сустава: у 1 пациента — III стадии, у 2 — ІІ стадии, у 1 — І стадии; остеоартроз пяточно-кубовидного сустава: у 2 пациентов — III стадии, у 1 — II стадии, у 1 — I стадии. После хирургического лечения из 27 пациентов у двоих отмечено прогрессирование остеоартроза голеностопного сустава ІІ стадии (7,4%) и у троих таранно-ладьевидного и пяточно-кубовидного суставов II—III стадии (11,1%).

#### Результаты динамического исследования функциональных параметров стопы

DOI: <a href="https://doi.org/10.17816/vto633337">https://doi.org/10.17816/vto633337</a>
EDN: WZMMQJ

Показатели пикового давления для всей стопы увеличились с  $67,9\pm23,4~\mathrm{H/cm^2}$  до коррекции до  $80,8\pm27,1~\mathrm{H/cm^2}$  после коррекции (p<0,03), для здоровой контралатеральной конечности эти значения составили  $78,9\pm28,1~\mathrm{H/cm^2}$ . Из этого следует, что после хирургической коррекции значения пикового давления для оперированной стопы были приближены к нормальным показателям.

Средний интеграл давления как общий показатель нагрузки на стопу увеличился как на оперированной стопе — с  $35,4\pm14,5\,$  до  $38,7\pm15,0\,$  H/cм², так и на нетравмированной стопе — с  $40,5\pm14,9\,$  до  $43,6\pm16,2\,$  H/cм².

Среднее время контакта пятки значительно уменьшилось: до операции —  $640\pm166$  мс, после операции —  $515\pm141$  мс (p<0,003). Эти показатели были схожи со значениями здоровой стопы —  $530\pm177$  мс соответственно.

Среднее значение давления на задний отдел стопы (пятка) снизилось после операции, для среднего отдела стопы — умеренно увеличилось. Также отмечено значительное увеличение среднего давления на 3–5-ю и 8-ю области стопы, которое было приближено к значениям контралатеральной конечности.

#### Субъективная оценка результатов

Субъективная оценка результатов лечения: 5 пациентов (18,5%) — отличный результат, 14 пациентов (51,8%) — хороший, 7 пациентов (25,9%) — удовлетворительный, один пациент (3,8%) оценил результат лечения как неудовлетворительный.

#### ОБСУЖДЕНИЕ

Артродез подтаранного сустава in situ успешно выполняется при сросшихся со смещением переломах пяточной кости. Однако, если не учитывается грубое нарушение анатомических параметров пяточной кости (изменение высоты, ширины, длины), угловая деформация с нарушением большеберцово-таранно-пяточной соосности, наличие болезненных остеофитов пяточной кости, выполнение изолированного пяточно-таранного артродеза будет недостаточным [3, 4, 6, 12–15]. В. Сагг первым описал дистракционный артродез подтаранного сустава для лечения тяжёлой посттравматической деформации пяточной кости [3, 5, 11]. В нашем исследовании мы использовали два костных трикортикальных аутотрансплантата из гребня подвздошной кости и во всех случаях получили 100% сращение. Н.Ј. Тrnka при использовании аллотрансплантатов в 4 случаях не получил консолидации (анкилоза), он отказался от рутинного использования алломатериалов для костно-пластического подтаранного артродеза [7, 8, 16, 17].

В работах Н.С. Коновальчука и Г.В. Коробушкина были описаны основные постулаты, когда есть прямые показания к выполнению дистракционного артродеза подтаранного сустава: на рентгенограммах угол инклинации таранной кости — менее 6,5 градуса [3, 4]. М.S. Myerson и G.E. Quill пришли к выводу, что дистракционный артродез следует выполнять при потере таранно-пяточной высоты более 8 мм [18].

Заднелатеральный продольный доступ по Gallie наиболее предпочтителен при дистракционном артродезе: он был выполнен 25 пациентам, и мы не получили ни одного осложнения, связанного с доступом [19]. Двоим пациентам выполнен расширенный L-образный доступ, так как они ранее были оперированы, после удаления металлоконструкции поперечный разрез был сразу ушит, и только после этого мы переходили к дистракции и имплантации костных аутоплантатов. Было отмечено, что при дистракции закрытие дистального разреза при L-образном доступе может привести к проблеме с заживлением кожных покровов в послеоперационном периоде [5, 20].

Учитывая, что у 25 пациентов отмечался положительный тест Сильвершельда, проводилась манипуляция по удлинению ахиллова сухожилия — по Strayer (20 пациентов) и Hoke (5 пациентов). Анализ публикацией по данной тематике показал, что удлинению ахиллова сухожилия уделяется мало внимания. Мы пришли к выводу, что при одномоментной дистракции и коррекции деформации пяточной кости в сагиттальной (вальгус / варус) и фронтальной плоскостях (плантаризация, то есть низведение бугра пяточной кости) необходимо устранение контрактуры икроножно-камбаловидного комплекса путём его удлинения [2, 5, 21–23].

Также мы не нашли в отечественной литературе проспективного исследования, посвящённого лечению посттравматической деформации пяточной кости путём выполнения дистракционного костно-пластического артродеза и одномоментной корригирующей остеотомии пяточной кости

DOI: <a href="https://doi.org/10.17816/vto633337">https://doi.org/10.17816/vto633337</a>

EDN: WZMMQJ

с анализом динамической педобарографии и её корреляции с клиническими и рентгенологическими результатами.

Важными рентгенологическими параметрами являются ВТПК и УИТК, которые в значительной мере поддаются коррекции после операции. Проводя анализ рентгенограмм через 12–24 мес, мы пришли к выводу, что при установке двух аутоплантатов возможна импрессия с потерей коррекции на 1–1,5 мм, при имплантации одного костного блока — на 3 мм и более. Данные выводы схожи с наблюдениями S.C. Chan и I.J. Alexander, которые описали среднее снижение ВТПК на 4,7 мм через 18 мес после дистракционного артродеза [24, 25].

Угол Белера не подходит для оценки результатов подтаранного артродеза, поскольку таранно-пяточное сочленение анкилозирует с костными блоками, а верхняя граница пяточной кости декортицирована и, следовательно, чётко не очерчена [6, 26, 27]. Поэтому в нашем исследовании мы не учитывали угол Белера на боковых рентгенограммах.

Показанием к выполнению корригирующей остеотомии пяточной кости является наличие у пациента угловой деформации заднего отдела стопы; вальгус более 15 градусов, варус 0 и более градусов. При вальгусной деформации выполнялась медиализация бугра пяточной кости на 8—10 мм, также низведение на 1 см, при варусной деформации до 10 градусов — латерализация бугра пяточной кости на 5—7 мм, более 10 градусов — закрытоугольная остеотомия по Dwyer с последующей латерализацией пяточного бугра. Это также было освещено в работах Н. Zwipp, А. Farouk, R.M. Atkins, где авторы выполняют остеотомию пяточной кости при тяжёлых деформациях с нарушением соосности заднего отдела стопы [23, 28—31].

Интраоперационным ориентиром, после корригирующей остеотомии является вальгус заднего отдела стопы 5 градусов [20]. В нашем исследовании это было подтверждено динамической педобарографией (АПК F-Scan Mobile). При анкилозе подтаранного сустава возможна минимальная инверсия в поперечном суставе предплюсны (Шопар). Пяточно-таранный анкилоз приводит к дополнительной нагрузке на наружную колонну стопы, увеличивает давление на латеральный отдел средней и передней части стопы. Увеличение нагрузки на наружную колонну стопы может приводить к прогрессированию артроза в пяточно-кубовидном суставе, боли в проекции основания пятой плюсневой кости.

На предоперационном планировании важно учитывать объём необходимой дистракции. Он может быть ограничен мягкими тканями, мышечной ригидностью и контрактурой ахиллова сухожилия, которая постепенно формируется у пациентов с посттравматической деформацией пяточной кости. Максимальная пяточно-таранная дистракция может привести к увеличению некроза кожи, боли в месте инсерции ахиллова сухожилия, тракционной невралгии икроножного и большеберцового нервов [7, 16].

Невропатия икроножного нерва — частое осложнение при дистракционном артродезе подтаранного сустава, по данным различных авторов, встречаемость данной проблемы в процентном соотношении составляет от 0 до 20 [32, 33].

В нашем исследовании невропатия икроножного нерва была у 6 пациентов (22%), у 4 пациентов отмечено восстановление чувствительности через 4—6 мес, у 2 пациентов (7,4%) гипостезия не регрессировала. Болезненных невром n.suralis отмечено не было, повторного вмешательства не потребовалось.

#### Клинический случай

Представлен результат лечения пациента М., 31 года, в анамнезе кататравма, лечение консервативное, гипсовая иммобилизация. Через 11 мес после травмы пациенту выполнена операция в следующем объёме: (1) удлинение правого ахиллова сухожилия по Страйеру; (2) краевая резекция наружной стенки пяточной кости, декомпрессия малоберцовых сухожилий; (3) корригирующая остеотомия правой пяточной кости с низведением; (4) дистракционный артродез подтаранного сустава, металлоостеосинтез; (5) тенотомия короткого сгибателя второго-пятого пальцев; (6) мини-инвазивная остеотомия проксимальной фаланги четвёртого-пятого пальцев (рис. 7).

Все пациенты, принявшие участие в исследовании, были вызваны на контрольный осмотр через 8 и 14 недель после операции. Через 2 мес после операции пациенты проходили КТ-исследование оперированной стопы, где основным показателем была перестройка аутоплантатов с начальными явлениями формирования таранно-пяточного анкилоза. Через 3,5 мес после операции выполнялись

DOI: <a href="https://doi.org/10.17816/vto633337">https://doi.org/10.17816/vto633337</a>

EDN: WZMMQJ

нагрузочные рентгенограммы стоп в трёх проекциях. На рентгенограммах стоп в боковой проекции оценивались следующие параметры: высота таранной и пяточной кости (ВТПК), мм; угол наклона пяточной кости (УНПК), градусы; угол инклинации таранной кости (УИТК), градусы; угол наклона таранной кости (УНТК), градусы; таранно-пяточный угол (ТПУ), градусы (рис. 8). Большеберцово-таранно-пяточное положение и его соосность оценивались на функциональных рентгенограммах стоп в проекции Зальцмана.

Оценка результатов до и после операции проводилась по единому протоколу одним доктором. В протокол были включены следующие параметры: жалобы, опросник ВАШ (0–10 баллов), AOFAS (0–94 балла, так как инверсия / эверсия была исключена), повседневная активность, выход на работу, занятия спортом. Клиническое обследование включало оценку послеоперационного рубца, наличие отёка, невропатии икроножного и большеберцового нерва, необходимость ношения индивидуальной ортопедической обуви, гиперкератозы, способность ходить на пятках, полупальцах, наличие триггерных зон в стопе и голеностопном суставе. Также проводилась гониометрия голеностопного сустава, объём движений сравнивался с контралатеральной конечностью.

#### **ЗАКЛЮЧЕНИЕ**

Дистракционный артродез выполнялся пациентам при тяжёлой посттравматической деформации пяточной кости, то есть на боковых рентгенограммах определялись отрицательный угол Белера, угол инклинации таранной кости менее 8 градусов, тип III, IV по классификации Zwipp/Rammelt. необходима для восстановления высоты пяточной кости и нормальных взаимоотношений заднего отдела стопы в целом. При использовании задне-наружного доступа по Gallie мы не получили серьёзных осложнений с заживлением раны. В качестве костной пластики из гребня подвздошной кости были забраны два аутотрансплантата, фиксация проводилась двумя канюлированными безголовчатыми винтами. Костное сращение было зарегистрировано в 100% случаев. При тяжёлой многокомпонентной деформации пяточной кости в обязательном порядке были выполнены удлинение ахиллова сухожилия, резекция наружной стенки, декомпрессии малоберцовых сухожилий, корригирующая остеотомия пяточной кости, дистракционный подтаранный костно-пластический артродез, а также, по показаниям, коррекция деформации среднего и переднего отдела стопы, то есть вмешательство на всём сегменте. За одну хирургическую сессию проводилось 5 и более процедур. Пациенты были удовлетворены результатом лечения, который был полтверждён не только клинически, рентгенологически, но и путём биомеханического исследования, при помощи динамической педобарографии. Из минусов: в исследовании не учитывались пациенты после корригирующей остеотомии пяточной кости по линии перелома по методике Romash.

#### ДОПОЛНИТЕЛЬНАЯ ИНФОРМАЦИЯ

**Вклад авторов.** Все авторы одобрили финальную версию перед публикацией, а также согласились нести ответственность за все аспекты работы, гарантируя надлежащее рассмотрение и решение вопросов, связанных с точностью и добросовестностью любой её части.

Источники финансирования. Отсутствуют.

**Раскрытие интересов.** Авторы заявляют об отсутствии отношений, деятельности и интересов (личных, профессиональных или финансовых), связанных с третьими лицами (коммерческими, некоммерческими, частными), интересы которых могут быть затронуты содержанием статьи, а также иных отношений, деятельности и интересов за последние три года, о которых необходимо сообщить.

Оригинальность. При создании настоящей работы авторы не использовали ранее опубликованные сведения (текст, данные).

**Генеративный искусственный интеллект**. При создании настоящей статьи технологии генеративного искусственного интеллекта не использовали.

**Рассмотрение и рецензирование.** Настоящая работа подана в журнал в инициативном порядке и рассмотрена по обычной процедуре. В рецензировании участвовали два внешних рецензента, член редакционной коллегии и научный редактор издания.

EDN: WZMMQJ

DOI: https://doi.org/10.17816/vto633337

**Информированное согласие на публикацию.** Авторы получили письменное согласие пациентов на публикацию их медицинских данных и фотографий (31.10.2023 г.).

#### **ADDITIONAL INFO**

**Author contribution.** All authors have approved the final version before publication and have also agreed to be responsible for all aspects of the work, ensuring that issues relating to the accuracy and integrity of any part of it are properly addressed and resolved.

Funding sources. No funding.

**Disclosure of interests.** The authors declare the absence of relationships, activities and interests (personal, professional or financial) related to third parties (commercial, non-profit, private), whose interests may be affected by the content of the article, as well as other relationships, activities and interests over the past three years, which must be reported.

**Statement of originality.** The authors did not use previously published information (text, data) to create this paper.

Generative AI. Generative AI technologies were not used for this article creation.

**Provenance and peer-review.** This paper was submitted to the journal on an initiative basis and reviewed according to the usual procedure. Two external reviewers, a member of the editorial board and the scientific editor of the publication participated in the review.

**Informed consent for publication.** The authors obtained written consent from patients for the publication of their medical data and photographs (October 31, 2023).

#### СПИСОК ЛИТЕРАТУРЫ | REFERENCES

- Shkuro KV, Zeinalov VT, Arapova IA, Levin AN, Vasiliev DO. Anatomical and functional guidelines for the correction hindfoot malalignment. *N.N. Priorov Journal of Traumatology and Orthopedics*. 2023;30(1):15–28. doi: 10.17816/vto321523 EDN: JEAFUQ
- 2. Zeynalov VT, Samkov AS, Kardanov AA, et al. Complex surgical treatment as a method of correction of multicomponent deformation of the foot in cases of background posttraumatic deformations of the calcaneus. *The Department of traumatology and orthopedics*. 2017;4(30):17—26, EDN: YWESTY
- 3. Konovalchuk NS, Sorokin EP, Lasunskiy SA, Fomichev VA, Chugaev DV. The main sources of pain in patients with consequences of calcaneal fractures: literature review and clinical observations. *Mod Probl Sci Educ*. 2018;(2):19. doi: 10.17513/spno.27465 EDN: XNYEIX
- 4. Korobushkin G, Chebotarev V, Ishkinyaev I, Miroshnikova E. Case report. Treatment patient with malunited calcaneal fractures. Evaluation clinical outcome 11-years follow-up after reconstructive romash osteotomy with lateral decompression and subtalar arthrodesis. *Traumatol Orthopaedics Kazakhstan*. 2021;4(59):46–53. doi: 10.52889/1684-9280-2021-4-60-46-53 EDN: FORCIF
- 5. Rammelt S, Grass R, Zawadski T, Biewener A, Zwipp H. Foot function after subtalar distraction bone-block arthrodesis. A prospective study. 2004;86(5):659–68. doi: 10.1302/0301-620X.86B5
- 6. Rammelt S, Zwipp H. Corrective arthrodeses and osteotomies for post-traumatic hindfoot malalignment: indications, techniques, results. *Int Orthop.* 2013;37(9):1707. doi: 10.1007/S00264-013-2021-3
- 7. Rammelt S, Marx C. Managing Severely Malunited Calcaneal Fractures and Fracture-Dislocations. *Foot and Ankle Clinics*. 2020;25(2):239–256. doi: 10.1016/j.fcl.2020.02.005

DOI: <a href="https://doi.org/10.17816/vto633337">https://doi.org/10.17816/vto633337</a>
EDN: WZMMQJ

- 8. Zwipp H, Rammelt S. Subtalare arthrodese mit calcaneus-osteotomie. *Orthopade*. 2006;35(4):387–404. doi: 10.1007/s00132-005-0923-5.
- 9. Kalensky VO, Ivanov PA. The main causes of unsatisfactory outcomes of treatment for foot injuries. *Russ Sklifosovsky J "Emergency Med. Care"*. 2018;7(2):122–128. doi: 10.23934/2223-9022-2018-7-2-122-128 EDN: UUOQXO
- 10. Pakhomov IA. Development of a biomechanically sound method of treating patients with the consequences of calcaneal fractures consolidated in a vicious position, complicated by extensor contracture of the ankle joint. *Polytrauma*. 2010;(4):24–29. (in Russ.). EDN: NCGVWF
- 11. Carr JB, Hansen ST, Benirschke SK. Subtalar distraction bone block fusion for late complications of os calcis fractures/ *Foot Ankle*. 1988;9(2):81–86. doi: 10.1177/107110078800900204
- 12. Easley ME, Trnka HJ, Schon LC, Myerson MS. Isolated subtalar arthrodesis. *J Bone Joint Surg Am.* 2000;82(5):613–624. doi: 10.2106/00004623-200005000-00002
- 13. Flemister AS, Infante AF, Sanders RW, Walling AK. Subtalar arthrodesis for complications of intra-articular calcaneal fractures. *Foot ankle Int.* 2000;21(5):392–399. doi: 10.1177/107110070002100506
- 14. Dahm DL, Kitaoka HB. Subtalar arthrodesis with internal compression for post-traumatic arthritis. *J Bone Joint Surg Br.* 1998;80(1):134–8. doi: 10.1302/0301-620X.80B1.7879.
- 15. Schepers T. The subtalar distraction bone block arthrodesis following the late complications of calcaneal fractures: a systematic review. Foot (Edinb). 2013;23(1):39–44. doi: 10.1016/j.foot.2012.10.004
- 16. Trnka HJ, Easley ME, Lam PWC, et al. Subtalar distraction bone block arthrodesis. *J Bone Joint Surg Br.* 2001;83(6):849–54. doi: 10.1302/0301-620X.83B6.10537
- 17. Chen YJ, Huang TJ, Hsu KY, et al. Subtalar distractional realignment arthrodesis with wedge bone grafting and lateral decompression for calcaneal malunion. *J Trauma*. 1998;45(4):729–37. doi: 10.1097/00005373-199810000-00018
- 18. Myerson M, Quill GE. Late complications of fractures of the calcaneus. *J. Bone Joint Surg Am.* 1993;75(3):331–41. doi: 10.2106/00004623-199303000-00004
- 19. Gallie WE. Subastragalar arthrodesis in fractures of the os calcis. *J Bone Jt Surgery Am*. 1943;25:731–736.
- 20. Thompson MJ, Roukis TS. Management of Calcaneal Fracture Malunion with Bone Block Distraction Arthrodesis: A Systematic Review and Meta-Analysis. *Clin Podiatr Med Surg.* 2019;36(2):307–321. doi: 10.1016/j.cpm.2018.10.011
- 21. Yu GR, Yu X, Surgical Management of Calcaneal Malunion. *J Orthop. Trauma Rehabil.* 2013;17(1):2–8. doi: 10.1016/j.jotr.2012.04.001
- 22. Jackson JB, Jacobson L, Banerjee R, Nickisch F. Distraction Subtalar Arthrodesis. *Foot and Ankle Clinics*. 2015;20(2):335–51. doi: 10.1016/j.fcl.2015.02.004
- 23. Shkuro KV, Zeinalov VT. Single plane transverse osteotomy of the calcaneus as a method of hindfoot correction in acquired static-dynamic deformations. *Dep Traumatol Orthop*. 2019;(2):21–31. doi: 10.17238/issn2226-2016.2019.2.21-31 EDN: WMOWYA
- 24. Chan SC, Alexander IJ. Subtalar arthrodesis with interposition tricortical iliac crest graft for late pain and deformity after calcaneus fracture. *Foot ankle Int.* 1997;18(10):613–5. doi: 10.1177/107110079701801002

DOI: <a href="https://doi.org/10.17816/vto633337">https://doi.org/10.17816/vto633337</a>
EDN: WZMMQJ

- 25. Chung HJ, Bae SY, Choo JW. Mid-term follow up results of subtalar distraction arthrodesis using a double bone-block for calcaneal malunion. *Yonsei Med J.* 2014;55(4):1087–94. doi: 10.3349/ymj.2014.55.4.1087
- 26. Rammelt S, Grass R, Zawadski T, Biewener A, Zwipp H. Foot function after subtalar distraction bone-block arthrodesis. A prospective study. *J Bone Joint Surg Br.* 2004;86(5):659–68. doi: 10.1302/0301-620X.86B5.14205
- 27. Amendola A, Lammens P. Subtalar arthrodesis using interposition iliac crest bone graft after calcaneal fracture. *Foot Ankle Int.* 1996;17(10):608–14. doi: 10.1177/107110079601701004
- 28. Zwipp H, Rammelt S. Posttraumatic deformity correction at the foot. *Zentralbl Chir*. 2003;128(3):218–26. doi: 10.1055/S-2003-38536
- 29. Farouk A, Ibrahim A, Abd-Ella MM, El Ghazali S. Effect of Subtalar Fusion and Calcaneal Osteotomy on Function, Pain, and Gait Mechanics for Calcaneal Malunion. *Foot Ankle Int.* 2019;40(9):1094–1103. doi: 10.1177/1071100719853291
- 30. Atkins RM. The treatment of calcaneal malunion. *Foot Ankle Clin.* 2014;19(3):521–40. doi: 10.1016/J.FCL.2014.06.016
- 31. Banerjee R, Saltzman C, Anderson RB, Nickisch F. Management of calcaneal malunion. *J Am Acad Orthop Surg.* 2011;19(1):27–36. doi: 10.5435/00124635-201101000-00004
- 32. Monaco SJ, Brandao RA, Manway JM, Burns PR. Subtalar Distraction Arthrodesis with Fresh Frozen Femoral Neck Allograft: A Retrospective Case Series. *Foot Ankle Spec*. 2016;9(5):423–8. doi: 10.1177/1938640016656783
- 33. Al-Ashhab MEA. Treatment for calcaneal malunion. *Eur J Orthop Surg Traumatol*. 2013;23(8):961–6. doi: 10.1007/S00590-012-1110-0

#### **ОБ ABTOPAX / AUTHORS' INFO**

* Автор, ответственный за переписку	* Correspondence author
Орлецкий Анатолий Корнеевич, д-р мед. наук,	Anatoly K. Orletsky, MD, Dr. Sci. (Medicine), Professor;
профессор;	ORCID: 0000-0003-3526-7496;
ORCID: 0000-0003-3526-7496;	<b>e-mail:</b> nova495@mail.ru
e-mail: nova495@mail.ru	c man; nova-75 e man; a
Косов Игорь Семенович, д-р мед. наук;	Igor S. Kosov, MD, Dr. Sci. (Medicine);
ORCID: 0009-0008-7053-7213:	ORCID: 0009-0008-7053-7213;
eLibrary SPIN: 3260-8950;	eLibrary SPIN: 3260-8950;
e-mail: kozeti@mail.ru	e-mail: kozeti@mail.ru
* Шкуро Константин Викторович;	* Konstantin V. Shkuro, MD;
адрес: Россия, 127299, Москва, ул. Приорова, д. 10;	address: 10 Priorova st, Moscow, Russia, 127299;
оксір: 0009-0004-8259-7994:	ORCID: 0009-0004-8259-7994;
eLibrary SPIN: 3442-1306;	eLibrary SPIN: 3442-1306;
e-mail: shkuro_kostya@mail.ru	e-mail: shkuro_kostya@mail.ru
Арапова Ирина Андресвиа; ORCID: 0009-0005-7216-3065:	Irina A. Arapova, MD; ORCID: 0009-0005-7216-3065;
e-mail: ryb4sirina@yandex.ru	e-mail: ryb4sirina@yandex.ru
Васильев Дмитрий Олегович, канд. мед. наук;	Dmitry O. Vasilyev, MD, Cand. Sci. (Medicine);
ORCID: 0000-0002-6573-3243;	ORCID: 0000-0002-6573-3243;
<b>eLibrary SPIN:</b> 7954-6710;	<b>eLibrary SPIN:</b> 7954-6710;
e-mail: A-tendo@mail.ru	e-mail: A-tendo@mail.ru
Зейналов Вадим Тофикович, канд. мед. наук;	Vadim T. Zeynalov, MD, Cand. Sci. (Medicine);
<b>ORCID:</b> 0000-0002-4815-3685;	<b>ORCID:</b> 0000-0002-4815-3685;
<b>eLibrary SPIN: 27</b> 03-9129;	<b>eLibrary SPIN:</b> 2703-9129;
e-mail: zeinalov_vadim@mail.ru	e-mail: zeinalov_vadim@mail.ru
Мурсалов Анатолий Камалович, канд. мед. наук;	Anatoly K. Mursalov, MD, Cand. Sci. (Medicine);
<b>ORCID:</b> 0000-0002-3829-5524;	<b>ORCID:</b> 0000-0002-3829-5524;

### Вестник травматологии и ортопедии им. Н.Н. Приорова N.N. Priorov Journal of Traumatology and Orthopedics Оригинальное исследование | Original Study Article DOI: <a href="https://doi.org/10.17816/vto633337">https://doi.org/10.17816/vto633337</a>

EDN: WZMMQJ

<b>eLibrary SPIN:</b> 9035-8198;	<b>eLibrary SPIN:</b> 9035-8198;
e-mail: tamerlanmursalov@gmail.com	e-mail: tamerlanmursalov@gmail.com
Мицкевич Виктор Александрович, д-р мед. наук,	Viktor A. Mitskevich, MD, Dr. Sci. (Medicine), Professor;
профессор;	<b>ORCID:</b> 0009-0008-8392-8571;
<b>ORCID:</b> 0009-0008-8392-8571;	e-mail: mitvictor@mail.ru
e-mail: mitvictor@mail.ru	

#### ТАБЛИЦЫ

Таблица 3. Классификация посттравматических деформаций пяточной кости по Zwipp / Rammelt

Table 3. Zwipp / Rammelt classification calcaneal malunion

	I/	Характеристики Лечение					
	Классификация	характеристики	Лечение				
Stephens / Sanders Tun 1	Zwipp / Rammelt Тип 0: неправильно сросшийся	«Вздутие» латерального	Экзостозэктомия, краевая резекция				
	перелом пяточной кости без	кортикала пяточной кости;	латерального кортикала пяточной				
	остеоартроза подтаранного сустава	интактная суставная	кости, суставсберегающие остеотомии				
		поверхность подтаранного сустава	остеотомии				
		oyerada.					
Тип 2	Тип I: остеоартроз	Остеоартроз подтаранного сустава 3-й ст. / болевой	Артродез in situ				
		сустава 3-и ст. / облевой					
C- 30							
	(6.75%)						
Тип 3	Тип II: + вальгус / варус	Дополнительно угловая деформация заднего отдела	Корригирующий артродез подтаранного сустава с				
1	<b>-</b>	стопы: вальгус / варус	ассиметричной резекцией хряща,				
		3 13	использование костного				
			трансплантата; Остеотомии				
			пяточной кости				
V							
′							
	Тип III: + потеря высоты пяточной кости	Дополнительно потеря высоты пяточной кости	Дистракционный костно- пластический артродез				
	ROUTE	IMTO-MORI ROCIN	подтаранного сустава, выполнение				
	(85 SS) A		остеотомии пяточной кости при				
			тяжёлых посттравматических деформациях				
			дсформациях				
	7						

DOI: <a href="https://doi.org/10.17816/vto633337">https://doi.org/10.17816/vto633337</a>

EDN: WZMMQJ

Тип IV: + латеральная дислокация	Дислокация бугристости	Корригирующая остеотомия вдоль
пяточной кости	пяточной кости латерально и	линии перелома с последующим
IIIIO IION ROCIN	краниально	подтаранным артродезом и костной
	(посттравматические	ауто-/аллопластикой
	*	ауто-/аллопластикои
	деформации, последствия	
(SE SE YE)	переломов и переломовывихов)	
100 (St. 100 )		
,		
<b>Тип V:</b> $+$ наклон таранной кости	Ассиметричная деформация	Корригирующая
	с глубокой импрессией тарана	остеотомия / артродез, открытая
	с вторичной асимметрией	ревизия голеностопного сустава,
DESCRIPTION OF THE PROPERTY OF	в «вилке» голеностопного	коррекция мышечного баланса
	сустава	
THE REPORT OF		
(1000)		
	•	

Таблица 2. Оценка результатов ВАШ и AOFAS через 6 и 12 мес после операции.

Table 2. Results of VASH AOFAS 6 and 12 months after surgery.

Оценка	AOFAS	BAIII
До операции	42 (39–72)	5,1 (9–2)
12 мес. после операции	85 (60–92)	0,8 (3–0)

*Примечание.* ВАШ — визуальная аналоговая шкала, AOFAS — шкала оценки результатов лечения деформации переднего отдела стопы.

Note. BAIII — Visual Analogue Scale, AOFAS — American Orthopedic Foot and Ankle Society Score.

# Вестник травматологии и ортопедии им. Н.Н. Приорова N.N. Priorov Journal of Traumatology and Orthopedics Оригинальное исследование | Original Study Article DOI: <a href="https://doi.org/10.17816/vto633337">https://doi.org/10.17816/vto633337</a> EDN: WZMMQJ

#### Таблица 3. Сведения о пациентах

**Table 3.** Patient information

№	Пол	Возраст	Время от	Механизм	Сторона	Сочетанная	Предыдущее	Объём	Время	Осложнения	В	АШ	A	OFAS
			травмы до операции, мес	травмы		травма	лечение	операции	операции, мин		до	после	до	после
1	Ж	25л	24	Кататравма	П	_	Гипс	ДПА+Cot+XЭ	90	ИОХВ	4	1	60	90
2	M	43г	9	Кататравма	П	Перелом позвонков	Гипс	ДПА+МОПК	85	_	3	0	65	88
3	Ж	41г	11	Кататравма	Л	_	Гипс	ДПА+ЛОПК+D w+PO	80	_	6	2	39	75
4	M	42г	19	Кататравма	П	_	-	ДПА	105	Замедленная консолидация	5	1	51	86
5	Ж	56л	42	Кататравма	Л	_	Гипо	ДПА+МОПК	90	_	4	0	66	92
6	M	55л	26	ДТП	Л	Перелом лучевой кости	Гине	ДПА+N	75	_	3	0	62	80
7	M	42г	12	Кататравма	Л	Перелом таранной кости	Опер.	ДПА+ЛОПК+D w+PO	100	n.suralis	5	1	43	78
8	M	38л	9	Кататравма	Л	ЗЧМТ, перелом ББ кости; ЛС	Опер.	ДПА	115	_	9	2	48	83
9	M	47л	10	Кататравма	П		Опер.	ДПА+МОПК+Р О	90	_	4	1	51	84
10	Ж	54г	13	ДТП	Л		Опер.	ДПА+МОПК+Со t+ХЭ	115	Варус	6	1	41	79
11	M	23г	14	Кататравма	П		Опер.	ДПА+МОПК+Р О	85	_	2	0	65	91
12	M	36л	41	Кататравма	Л	Перелом позвонков	Гипс	ДПА+МОПК+Р О	90	_	3	1	60	88
13	M	33г	60	Кататравма	П	_	Гипс	ДПА+МОПК	100	N.suralis	5	0	55	86
14	M	31г	14	Кататравма	П	Перелом предплечья; ЛС	Опер.	ДПА+ПКА+РО	140	Варус	3	1	52	82
15	M	31г	17	Кататравма	□ J	Перелом ББ кости; ЛС	Гипс	ДПА+МОПК+К ППК+РО	140	_	4	1	57	88
16	M	44Γ	20	Кататравма	П	_	Опер.	ДПА+МОПК	110	ИОХВ	2	3	58	60
17	M	47л	26	Кататравма	Л	_	Опер.	ДПА+РО	120	_	3		72	90

DOI: https://doi.org/10.17816/vto633337

EDN: WZMMQJ

18	M	28л	15	Кататравма	Л	Перелом бедра, костей	Опер.	ДПА+ЛОПК+D w	145	Варус	4	1	60	80
						таза								
19	M	35л	72	Кататравма	Л	-	Гипс	ДПА+МОПК+Р О	130	_	4	1	55	88
20	Ж	33г	44	ДТП	Л	Перелом ББ кости; ЛС	Опер.	ДПА+ЛОПК+КП ПК+РО	170	Bapyc	2	0	59	90
21	M	31г	9	Кататравма	Л	-	Гипс	ДПА+МОПК+Р	130	_	6	1	43	85
22	M	30л	11	Кататравма	П	-	Гипс	ДПА+НОПК+РО	140	_	8	1	51	84
23	Ж	22г	22	Кататравма	Л	-	Гипс	ДПА+НОПК+РО	160	Винт удалён	5	0	63	87
24	M	58л	37	Кататравма	Л	-	Гипс	ДПА	95	_	4	1	60	87
25	M	58л	12	Кататравма	П	-	Гипс	ДПА+ЛОПК	115	_	3	0	58	79
26	M	60л	62	Кататравма	Л	_	Опер.	ДПА	100	_	6	2	51	88
27	Ж	50л	21	Кататравма	Л	_	Опер.	ДПА	120	_	2	1	55	80

Примечание. ВАШ — визуальная аналоговая шкала, АОFAS — шкала оценки результатов лечения деформации переднего отдела стопы, ДПА — дистракционный подтаранный артродез, ПКА — пяточно-кубовидный артродез, КППК — костная аутопластика переднего отростка пяточной кости, МОПК — медиализирующая остеотомия пяточной кости, ЛОПК — латерализирующая остеотомия пяточной кости, НОПК — низводящая остеотомия пяточной кости, Dw — закрытоугольная остеотомия пяточной кости по Dwyer, Cot. — открытоугольная остеотомия медиальной клиновилной кости по Cotton, PO — резекция остеофитов пяточной кости, XЭ — хейлэктомия (резекция тыльных остеофитов первой плюсневой кости и проксимальной фаланги первого пальца), N — невролиз, декомпрессии большеберцового или икроножного нерва, ЛС — ложный сустав, ЗЧМТ — закрытая черепно-мозговая травма, ББ — большеберцовая.

Note. BAIII — Visual Analogue Scale, AOFAS — American Orthopedic Foot and Ankle Society Score, ДПА — distraction bone bone-block arthrodesis, ПКА — calcaneal cuboid arthrodesis, КППК — bone graft anterior process of calcaneus, МОПК — medial displacement calcaneal osteotomy, ЛОПК — lateral displacement calcaneal osteotomy, Dw — Dwyer calcaneal osteotomy, Cot. — Cotton osteotomy, PO — osteophyte resection, XЭ — cheilectomy, N — necrolysis, ЛС — nonunion, 3ЧМТ — closed craniocerebral injury, ББ — tibial.



DOI: <a href="https://doi.org/10.17816/vto633337">https://doi.org/10.17816/vto633337</a>
EDN: WZMMQJ

Таблица 4. Средние значения до- и послеоперационных рентгенологических измерений

 Table 4. The average values of pre- and postoperative X-ray measurements

Измерение	До	После	Здоровая
_	операции	операции	стопа
		(12 мес.)	
Высота таранной и пяточной кости, мм	68 (52–78)	82 (71–89)	82 (71–92)
Угол наклона пяточной кости, гр.	8 (0–17)	18 (10–22)	25 (14–30)
Угол инклинации таранной кости, гр.	6 (-8–16)	20 (12–26)	22 (16–28)
Угол наклона таранной кости, гр.	8 (-2–19)	17 (10–22)	20 (13–26)
Таранно-пяточный угол, гр.	10 (0–22)	23 (13–31)	30 (19–35)

#### РИСУНКИ

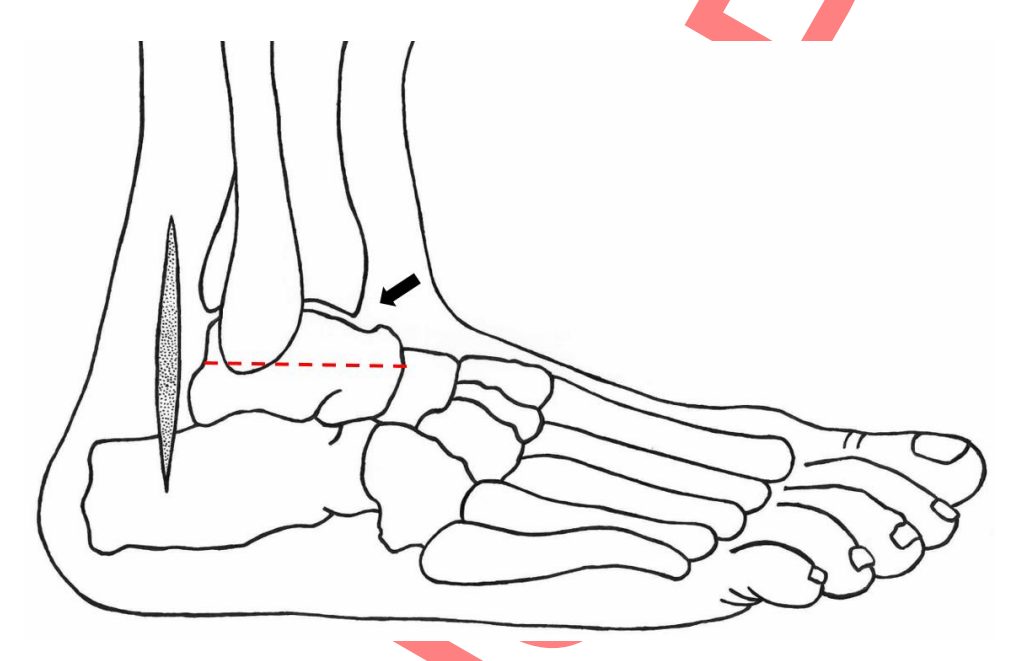
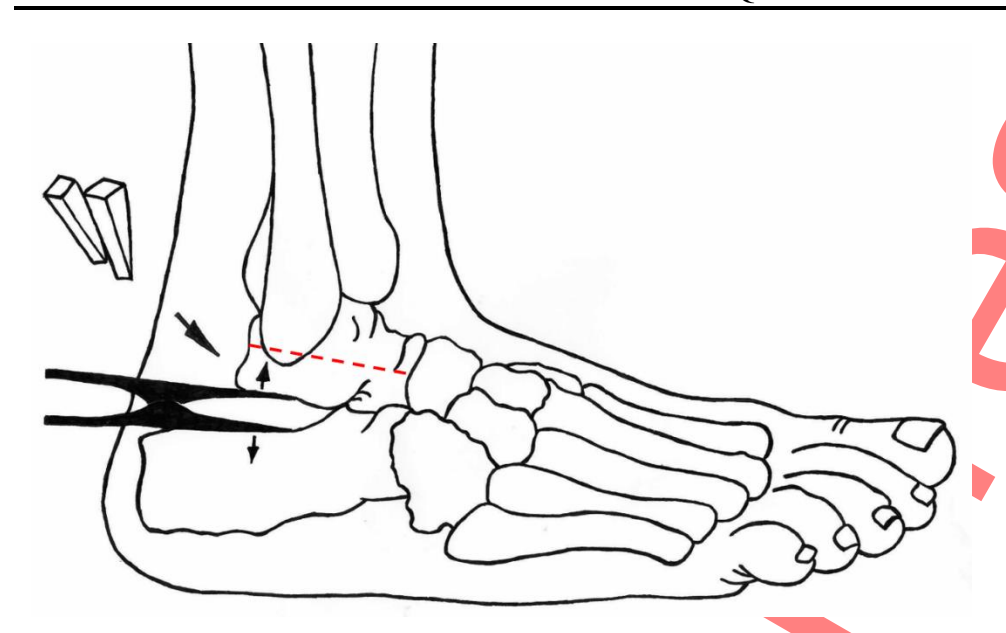


Рис. 1. І-образный доступ по Gallie. Пунктиром показано горизонтальное положение таранной кости.

Fig. 1. I-shaped approach by Gallie. The dash line shows the horizontal position of the talus.

EDN: WZMMQJ



**Рис. 2.** Дистракция подтаранного сустава, имплантация двух костных аутоплантатов. Пунктиром показано восстановление угла инклинации таранной кости.

Fig. 2. Distraction of the subtalar joint, implantation of two bone autografts. The dash line shows the restoration of the talar inclination angle





Рис. 3. Модуль регистрации и стельки АПК F-Scan, экспериментальная стандартизированная обувь «Персей».

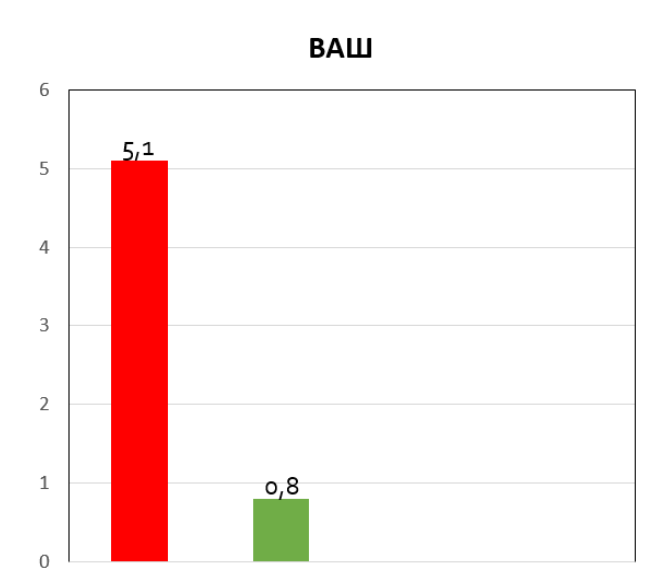
Fig. 3. Clinical Gait Analysis F-Scan Mobile, registration module and insoles, «Perseus» experimental standardized footwear.



ab

**Рис. 4.** Тестирование пациента Г. **а**— ходьба на тредмиле, угол наклона 0 градусов, *b* — ходьба на тредмиле, угол наклона 10 градусов.

Fig. 4. Testing of patient G. a—is walking on a treadmill, an angle of inclination of 0 degrees, b—is walking on a treadmill, an angle of inclination of 10 degrees.



ВАШ после

операции(1г.)

ВАШ до

операции

Рис. 5. Показатель ВАШ до операции и через 12 мес. после неё. ВАШ — визуальная аналоговая шкала.

Fig. 5. VASH before the operation and 12 months after it. BALL — visual analog scale.



**Рис. 6.** Показатели **AO**FAS до операции и через 12 мес. после неё. AOFAS — шкала оценки результатов лечения деформации заднего отдела стопы.

Fig. 6. AOFAS before the operation and 12 months after it. AOFAS — a scale for evaluating the results of treatment of hindfoot deformity.



**Рис. 7.** Рентгенограммы пациента М. в боковой и проекции Зальцмана: *а* — до операции, *b* — через 12 мес. после неё.

Fig. 7. X-ray of patient M. in the lateral and Saltzman projection: a before surgery, b — 12 months after it.



abcde

**Рис. 8.** Рентгенограммы нормальной стопы в боковой проекции с нагрузкой, демонстрирующая рентгенографические параметры заднего отдела стопы. a — высота таранной и пяточной кости, b — угол наклона пяточной кости, c — угол инклинации таранной кости, d — угол наклона таранной кости, e — таранно-пяточный угол.

**Fig. 8.** Weight-bearing lateral radiograph of a normal foot demonstrating radiographic measurements for hindfoot alignment. a — talocalcaneal height, b — calcaneal pitch angle, c — talar inclination angle, d — talus declination angle, e — lateral talocalcaneal angle.